

Verknüpfte Kurven und der Satz von Fary-Nilson

Def 1: Eine Isotopie von \mathbb{R}^n ist eine stetige Abbildung

$$\Phi: [0,1] \times \mathbb{R}^n \rightarrow \mathbb{R}^n, \text{ sodass für } \Phi_t: \mathbb{R}^n \rightarrow \mathbb{R}^n \text{ gilt:}$$

$$x \mapsto \Phi(t, x)$$

① Φ_t Homöomorphismus

(\hookrightarrow stetig mit stetigen Invers)

② $\Phi_0 = 1|_{\mathbb{R}^n}$

Def 2: Zwei Kurven $c_0, c_1: \mathbb{R} \rightarrow \mathbb{R}^n$ heißen

aubient isotop wenn es eine Isotopie $\Phi: [0,1] \times \mathbb{R}^n \rightarrow \mathbb{R}^n$ gibt, sodass $\Phi_1(\text{im } c_0) = \text{im } c_1$

Lemma 3: Aubiente Isotopie definiert eine Äquivalenzrelation auf einfach geschlossenen Kurven.

Beweis: Verknüpfung von Isotopen $\Phi_t = \Phi_t^{(2)} \circ \Phi_t^{(1)}$. □

Def 4: Eine Äquivalenzklasse wie oben heißt einen **Knoten**.

Knoten Theorie = Studium von Knoten

Def 5: Eine (stetige) Kurve in \mathbb{R}^n heißt **unverknotet**, wenn sie ambient isotop zu dem Einheitskreis c_0 ist:

$$c_0(t) = \cos(t)\mathbf{e}_1 + \sin(t)\mathbf{e}_2,$$

wobei $t \in \mathbb{R}$ und $\mathbf{e}_1, \dots, \mathbf{e}_n$ die Standardbasis von \mathbb{R}^n ist.

Sonst heißt die Kurve **verknotet**.

Der dem Einheitskreis entsprechende Knoten heißt der **Unknoten** oder der **triviale Knoten**.

Lemma 6: Für $n \neq 3$ ist jede reguläre einfach geschlossene Kurve $c: \mathbb{R} \rightarrow \mathbb{R}^n$ ambient isotop zu dem Einheitskreis.

Beweisskizze:

[Buch von Hirsch, Kap. 8, Satz 1.4]

- Fakt aus Differentialtopologie (Isotopic Erweiterung):

Reguläre Homotopie $\Phi: [0,1] \times [0,1] \rightarrow \mathbb{R}^n$ sodass

$(\Phi_s: [0,1] \rightarrow \mathbb{R}^n$ für jedes s einfach geschlossen ist,

(Isotopic von Einbettungen) lässt sich in eine ambient

Isotopie $\Phi: [0,1] \times \mathbb{R}^n \rightarrow \mathbb{R}^n$ erweitern.

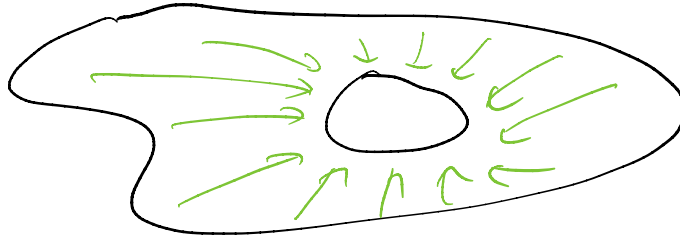
Basis des Faltes: Tangentialvektoren $\frac{d}{ds} \psi(s,t)$ definieren einen Vektorfeld $\{(s, \psi(s,t)) \mid (s,t) \in [0,1]^2\} \rightarrow \mathbb{R}^n$, der sich zu einem Vektorfeld $X: [0,1] \times \mathbb{R}^n \rightarrow \mathbb{R}^n$ mit kompakten Träger erweitern lässt. Dann ist die Lösung $\phi: [0,1] \times \mathbb{R}^n \rightarrow \mathbb{R}^n$ der Differentialgleichung $\frac{d}{ds} \phi(s,x) = X(s, \phi(s,x))$ mit der Auflangsbedingung $\phi(0, x) = x$ die gesuchte aufbogene Isotopie.

$(\phi$ existiert lokal nach dem Existenzsatz für DG des ersten Grades und global nach dem Escape Lemma. $) \square$

→ es reicht eine reguläre Homotopie ψ von c_0 und c durch einfach geschlossene Kurven (-: Isotopie) zu finden

n=2: Umkehratz von Hopf $\rightarrow r(c) \in \{\pm 1\}$

Satz von Ulmer $\Rightarrow \exists$ reguläre Homotopie ψ von c und c_0 oder \bar{c}_0 durch geschlossene Kurven c und c_0 einfach geschlossen \Rightarrow kann ψ so konstruieren, sodass $\psi|_c$ keine Selbstschleife hat



n24: Der Bild der C^1 -Abbildung $F: \mathbb{R} \times [0,1]^2 \rightarrow \mathbb{R}^n$

$$F(s, t_1, t_2) = \begin{cases} s c(t_1) + (1-s)c(t_2) & t_1 \neq t_2 \\ c(t) & t = t_1 = t_2 \end{cases}$$

hat nach dem Satz von Sard Maß 0 in \mathbb{R}^n für $n > 3$.



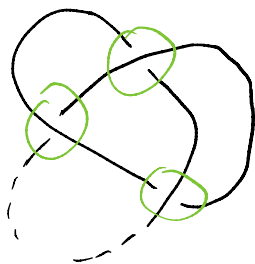
$\Rightarrow \exists e_n \in \mathbb{R}^n, \|e_n\|=1$, sodass $e_n \notin \text{Bild}(F)$

$\Rightarrow \Psi(s, t) := c(t) - s \langle c(t), e_n \rangle e_n$ ist eine Isotopie,

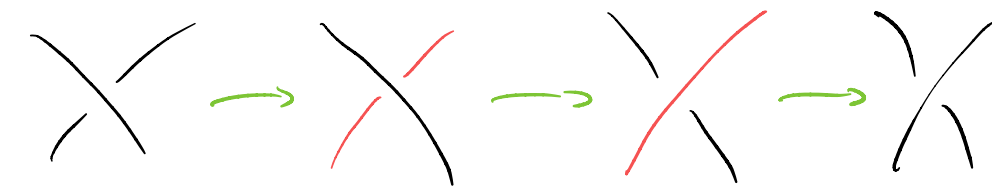
sodass $\Psi_0 = c$ und $\text{im } \Psi_n \subset \text{Lin}(e_n)^\perp \cong \mathbb{R}^{n-1}$

Induktion $\Rightarrow c$ ist isotop zu einer einfach geschlossenen regulären Kurve \tilde{c} in $\mathbb{R}^3 \subset \mathbb{R}^n$

Beachte eine reguläre Projektion von \tilde{c} :



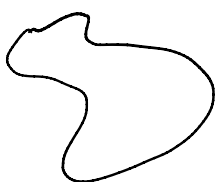
Alle Übergänge lassen sich in der vierten Dimension erledigen:
durch andere Farbe repräsentiert



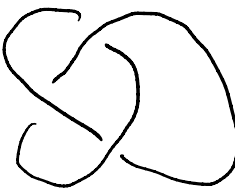
$\Rightarrow c$ ist isotop zu



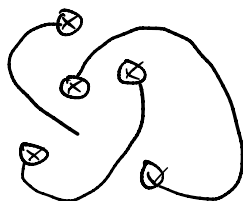
Bauerkung 7: • In der Knotentheorie von Kurven, die aussieht
isotop zu einer regulären Kurve sind (z.B. alle C^1 -Knoten),
gibt es also in Dimensionen $n \geq 3$ nur den Unknoten, und die
Theorie ist trivial.



$n=2$: zu rigid



$n=3$



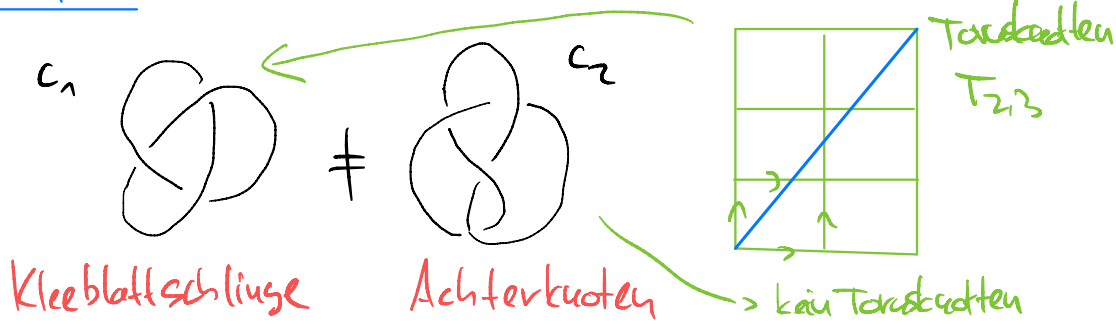
$n \geq 4$: zu flüssig

Wie der nächste Beispiel zeigt, gibt es im $n=3$ mehrere nicht-triviale Knoten. Die Hauptaufgabe der Knotentheorie ist diskrete Invarianten zu entwickeln, die die Knoten in $n=3$ klassifizieren.

- Für alle $n \geq 3$ gibt es nicht triviale statige Knoten - Wildknoten.

Das sind aber pathologische Beispiele wie z.B. die Raute von Cantor.

Beispiel 8: Die einfachste nicht triviale nicht äquivalente Knoten:



Dass es nur keine Unterknoten gibt, kann man mit Hilfe von

der knotentheoretischen Brückenzahl $b(c) = \min \mathbb{P}(c)$,

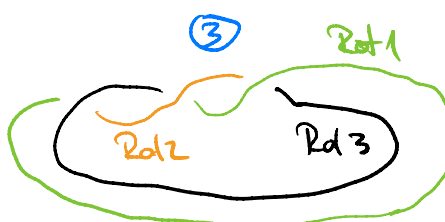
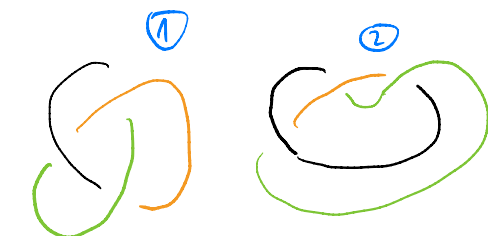
wobei das Minimum über alle ambient isotopische Kurven ist.

Es gilt $b(c_1) = b(c_2) = 2$, aber $b(c_0) = 1$. Über c_1 von c_2

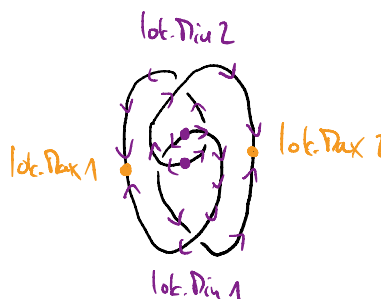
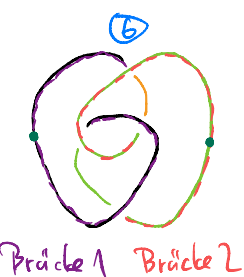
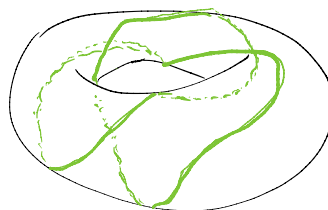
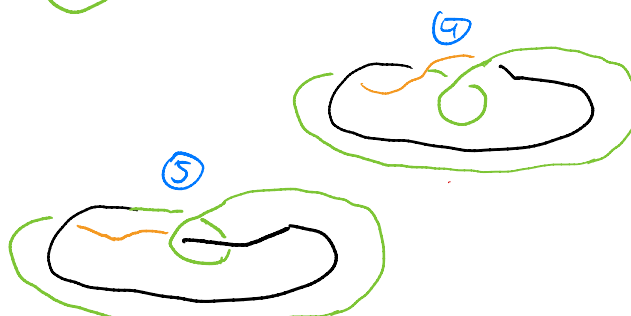
zu unterscheiden, braucht man andere Invarianten wie das Polyham

von Jones.

Isotopien der Kleeblattschlinge:



3 x vertikal herum
2 x horizontal herum



\mathbf{e} = Vektor senkrecht zu der Ebene

Nicht äquivalente Varianten der Kleeblattschlinge



Spiegelung



Um diese zu unterscheiden reicht das Polygonaus von Jones nicht.

Thm 9 (Fary-Pilauov)

$c: \mathbb{R} \rightarrow \mathbb{R}^3$ verknottete einfach geschlossene Kurve

$$\Rightarrow \chi(c) \geq 4\pi$$

Beweis: Widerspruchsaussnahme: $\chi(c) < 4\pi$

$$\rightarrow 2 > \frac{\chi(c)}{2\pi} \geq \gamma(c) = \min_{e \in S^2} \gamma(c, e) \geq 1,$$

wobei $\gamma(c, e) := \#\{ \text{lok. Max. von } t \mapsto \langle c(t), e \rangle \}$

- die zweite Ungleichung folgt aus

$$\frac{1}{A(S^2)} \int_{S^2} \gamma(c, e) dA(e) = \frac{\chi(c)}{2\pi},$$

was wir letzte Woche mit Hilfe der Krümmungsapproximation durch Polygone bewiesen haben.

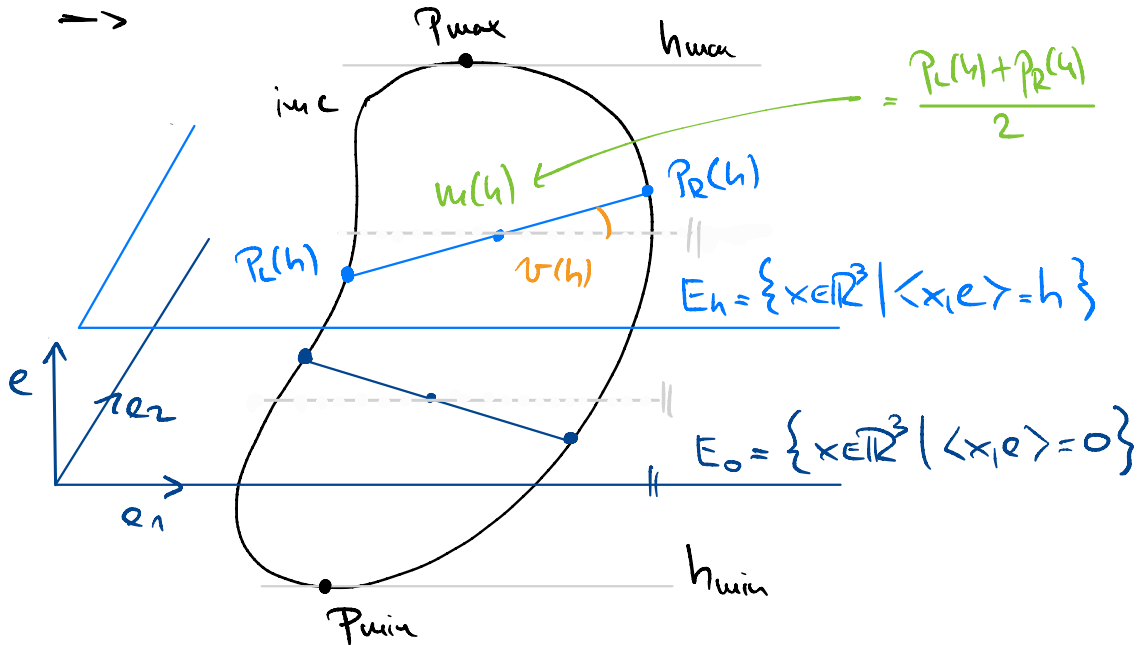
- die letzte Ungleichung gilt weil jede stetige Funktion auf einem kompakten Intervall mindestens ein lok. Max. besitzt.
- $\gamma(c)$ ganzzahlig

$$\Rightarrow \gamma(c) = 1$$

$$\Rightarrow \exists e \in S^2: \gamma(c, e) = 1$$

Die Funktion $h: f \mapsto \langle c(f), e \rangle$ muss also genau ein (lokales) Maximum h_{\max} und genau ein (lokales) Minimum h_{\min} haben. Seien h_{\max} und h_{\min} die entsprechenden Werte.

→



weil $E_h \cap \text{im } c = \begin{cases} \{P_L(h), P_R(h)\} & h_{\min} < h < h_{\max}, \\ \{P_{\min}\} & h = h_{\min}, \\ \{P_{\max}\} & h = h_{\max}, \\ \emptyset & \text{sonst.} \end{cases}$

Sonst im Widerspruch mit der Position von lokalen Extremen von h .

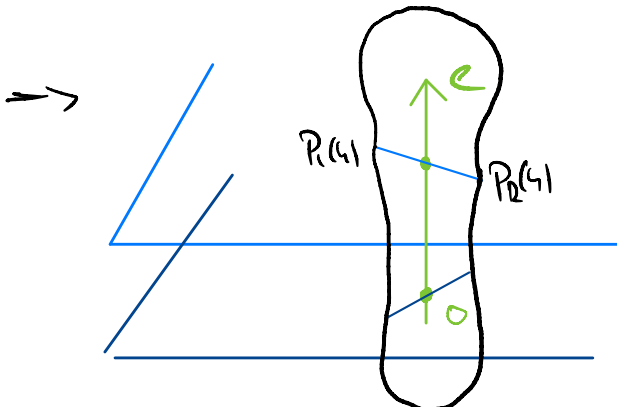
Sei $\pi: \mathbb{R}^3 \rightarrow E_0$ die Orthogonalprojektion.

Konstruiere Isotopie $\phi: [0,1] \times \mathbb{R}^3 \rightarrow \mathbb{R}^3$ in 2 Schritten:

① $\phi^{(1)}: [0,1] \times \mathbb{R}^3 \rightarrow \mathbb{R}^3$ zentriert um (γ) auf die e -Achse
durch Translationen in den E_h Ebenen:

$$\phi^{(1)}(t, x) := \begin{cases} x - t \pi(m(h)) & h_{\min} < h < h_{\max}, \\ x - t \pi(p_{h\min}) & h = h_{\min}, \\ x - t \pi(p_{h\max}) & h \geq h_{\max}. \end{cases}$$

$h = \langle x, e \rangle$



- $\phi^{(1)}$ ist offensichtlich eine Isotopie, weil sie in jeder E_h Ebene nur eine Translation um einen konstanten Vektor implementiert, der stetig von h abhängt.
- Winkel $\nu(h)$ und die Längen von $\pi(p_L(h))$ und $\pi(p_R(h))$ ändern sich während der Isotopie.

② $\phi^{(2)}: [0,1] \times \mathbb{R}^3 \rightarrow \mathbb{R}^3$ rotiert um den Winkel $-v(h)$

in den En Ebenen:

$$\phi^{(2)}(t, x) := h e + \begin{pmatrix} \cos(-v(h)) \sin(t v(h)) \\ -\sin(-v(h)) \cos(t v(h)) \end{pmatrix} \pi(x)$$

wobei $v: \mathbb{R} \rightarrow \mathbb{R}$ eine glatte Funktion ist, sodass

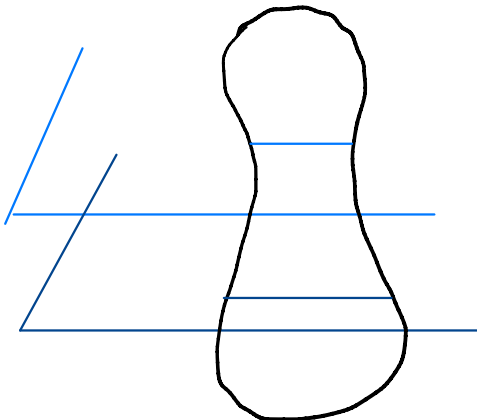
$$\zeta(h) = \cos(v(h)) e_1 + \sin(v(h)) e_2$$

für $\zeta: \mathbb{R} \rightarrow S^1$:

$$\zeta(h) := \begin{cases} \pi \left(\frac{p_R(h) - p_L(h)}{\| - \| - \| \}} \right) & h_{\min} < h < h_{\max} \\ \pi(\zeta(t_{\max})) & h \leq h_{\min} \\ \pi(\zeta(t_{\min})) & h \geq h_{\max} \end{cases}$$

- Solche Funktion v existiert nach dem Liftingslemma.
- $\phi^{(2)}$ ist offensichtlich eine Isotopie, weil sie in jeder Ebene nur eine Rotation implementiert, und der Rotationswinkel stetig von h abhängt.

=>



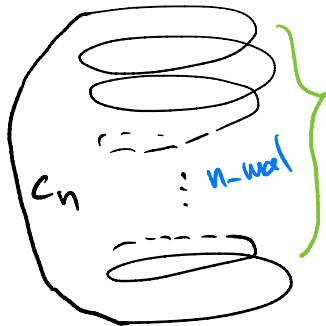
einfach geschlossene
Kurve in der Ebene
gespeist von ϱ, ℓ_1
=> unverknotet

Setze $\Phi(t,x) := \Phi^{(2)}(t, \Phi^{(1)}(t,x))$, sodass

$\Phi_t = \Phi_t^{(2)} \circ \Phi_t^{(1)}$. Dann ist Φ eine Isotopie, die c unverknotet.

□

→ Man kann also durch die Wahl eines regulären Repräsentantes und die Berechnung seines Totalkrümmungs zeigen, dass einer Knoten unverknotet ist. Nächster Beispiel zeigt, dass man aber nicht zeigen kann, dass der Knoten verknottet ist.

Beispiel 10:

konstante Krümmung (und Torsion)
in dem Helix - Teil.

$\lim_{n \rightarrow \infty} \kappa(c_n) = \infty$, aber c_n unverknottet für alle n !